



## بررسی عملکرد پرتابه‌های دو مرحله‌ای ضد استحکامات در اهداف بتنی به روش تجربی و عددی

ناصر دشتیان گرامی<sup>۱</sup>، غلامحسین لیاقت<sup>۲</sup>، غلامحسین رحیمی شعباباف مقدس<sup>۲</sup>، نجمه خضرائیان<sup>۳</sup>

۱- دانشجوی دکتری، مهندسی مکانیک، دانشگاه تربیت مدرس، تهران

۲- استاد، مهندسی مکانیک، دانشگاه تربیت مدرس، تهران

۳- استادیار، مهندسی مکانیک، دانشگاه آزاد اسلامی واحد اسلامشهر، اسلامشهر

\*تهران، صندوق پستی 14115-143، ghlia530@modares.ac.ir

### اطلاعات مقاله

مقاله پژوهشی کامل

دریافت: ۳۱ خداد ۱۳۹۵

پذیرش: ۲۰ تیر ۱۳۹۵

ارائه در سایت: ۱۱ مهر ۱۳۹۵

کلید واژگان:

نفوذ پرتابه دو مرحله‌ای

پرتابه پیشرو

پرتابه اصلی

بتن آسیب‌دیده

**چکیده**  
در این مقاله، فرایند نفوذ پرتابه‌های دو مرحله‌ای ضد استحکامات به روش‌های تجربی و عددی مورد بررسی و تحلیل قرار گرفته است. پرتابه دو مرحله‌ای مورد نظر در این تحقیق از یک خرچ‌گود پیشرو با لاین مسی و هندسه مخروطی و یک پرتابه اصلی به شکل استوانه با دماغه تخت تشکیل شده است. به منظور تعیین مشخصات هندسی حفره و تونل ایجاد شده بر روی هدف بتنی، در ابتدا آزمون‌های نفوذ پرتابه‌های پیشرو با لاین مسی و هندسه مخروطی بر روی هدف بتنی صورت پذیرفته است. در آزمون‌های نفوذ خرچ‌گود پیشرو سه نمونه پرتابه مورد تست قرار گرفته است که با توجه به شرایط کاملاً یکسان پرتابه‌ها و اهداف بتنی نتایج آزمون‌ها از تکرار پذیری بسیار مناسبی برخوردار بوده است. با مشخص شدن ابعاد هندسی تونل و حفره بر روی هدف بتنی توسط آزمون‌ها، فرایند نفوذ خرچ‌گودهای پیشرو و اصلی با استفاده از شبیه‌سازی عددی و به کمک نرم‌افزار اوتوداین مورد تحلیل قرار گرفته است. مقایسه نتایج نفوذ پرتابه پیشرو با روش‌های تجربی و عددی حاکی از انتلاقی بسیار خوب نتایج بین دو روش انجام گرفته است. در انتهای این تحقیق اثرات آسیب بتن در فرایند نفوذ پرتابه اصلی با استفاده از شبیه‌سازی عددی در راستای تعیین سرعت باقی‌مانده مورد بررسی قرار گرفته است. نتایج مطابق با پیش‌بینی‌ها نشان می‌دهد که با وجود آسیب در هدف بتنی، سرعت باقی‌مانده افزایش خواهد داشت.

## Investigation of performance of anti structure tandem projectiles in to the concrete targets by experimental and numerical method

Nasser Dashtian Gerami<sup>1</sup>, Gholam Hossein Liaghat<sup>1\*</sup>, Gholam Hossein Rahimi Sharbaf Moghadas<sup>1</sup>, Najmeh Khazraiyan<sup>2</sup>

1-Department of Mechanical Engineering, Tarbiat Modares University, Tehran, Iran.

2-Department of Mechanical Engineering, Islamshahr Branch, Islamic Azad University, Islamshahr, Iran.

\* P.O.B. 14115-143 Tehran, Iran, ghlia530@modares.ac.ir

### ARTICLE INFORMATION

Original Research Paper

Received 20 June 2016

Accepted 10 July 2016

Available Online 02 October 2016

#### Keywords:

Tandem projectile penetration

Forward projectile

Follow projectile

Damaged Concrete

### ABSTRACT

In this paper, the penetration process of anti-structure tandem projectiles is investigated by numerical and experimental methods. The used projectiles in this research have been composed of the forward shaped charge with conical copper liner and the following kinetic energy projectile with flat nose. For determination of cavity and tunnel geometry, at first follow projectile penetration test is done. In this process three shaped charge projectiles are tested. According to the same conditions for projectiles and concrete target, the obtained data of performed test are in good agreement with each others. Then numerical simulation of forward and follow projectiles penetration is analyzed by finite difference hydro code: AUTODYN. The numerical results obtained from the forward projectile penetration have been compared with experimental results. The comparisons between experimental and numerical results for forward projectiles show good agreement with each others. At the end of this research, the residual velocities of the follow projectiles are investigated by numerical method. The results also indicate that the residual velocity of follow projectile increases due to the damage in the concrete target, which is in agreement with which predictions.

#### ۱- مقدمه

بررسی پدیده مکانیک نفوذ در اهداف مختلف بهوسیله پرتابه‌های گوناگون به پرتابه‌های متداول وجود ندارد. چنانچه از پرتابه‌های متداول استفاده شود، این پرتابه‌ها بر روی این موضع منفجر شده و آسیبی به هدف اصلی نمی‌رسد. برای نابودسازی این اهداف باید بتوان از این موضع عبور نموده و اثرات انفجار را در پشت و یا داخل اهداف ایجاد نمود. سرجنگی‌های دو مرحله‌ای ضد استحکام و یا در درون سنگرهای استحکامات و پناهگاههای مدفون نگهداری

بررسی تحلیل و طراحی اهداف مقاوم به نفوذ و یا طراحی پرتابه‌های ویرانگر بسیار مهم و کاربردی است. در برخی مواقع اهداف مهم در پشت دیوارهای مستحکم و یا در درون سنگرهای استحکامات و پناهگاههای مدفون نگهداری

Please cite this article using:

N. Dashtian Gerami, Gh. H. Liaghat, Gh. H. Rahimi Sharbaf Moghadas, N. Khazraiyan, Investigation of performance of anti structure tandem projectiles in to the concrete targets by experimental and numerical method, *Modares Mechanical Engineering*, Vol. 16, No. 10, pp. 9-18, 2016 (in Persian)

برای ارجاع به این مقاله از عبارت ذیل استفاده نمایید:

است، انتگرال گیری نمود. تلند با استفاده از این روش عمق نفوذ و نیز تغییرات سرعت در یک هدف بتی ضخیم را برآورد نمود. مقایسه نتایج مدل تلند با نتایج تست‌های تجربی فولسام و ماسترت نشان می‌دهد که مدل تلند همواره عمق نفوذ را کمتر از نتایج تجربی برآورد می‌کند.

ژاؤ وون [6] یک مدل تحلیلی بر اساس قانون تنش پیشنهادی ون [7] را ارائه نمودند. این مدل در ابتدا برای بررسی و تحلیل نفوذ پرتابه اصلی در اهداف بتی با سوراخ‌های از پیش ایجاد شده ارائه شد، سپس با برخی اصلاحات، عملکرد نفوذ بهبود داده شد. همچنین آنها به شبیه‌سازی عددی نفوذ پرتابه‌های صلب در اهداف بتی سوراخ‌دار با استفاده از نرم‌افزار ال اس داین‌پرداختند. در شبیه‌سازی انجام شده از مدل مادی جانسون- Helmکوئیست برای اهداف بتی استفاده شد. مقایسه نتایج مدل ژاؤ وون با نتایج تجربی نشان می‌دهد که مدل ایشان از دقت بالاتری نسبت به مدل تحلیلی تلند برخوردار است.

وانگ [8] نفوذ پرتابه‌های صلب با دماغه‌های مخروطی و اجایو را در اهداف بتی سوراخ‌دار به روش تحلیلی مورد بررسی و مقایسه قرار داد. نتایج حاصل از تحلیل‌ها نشان داد که اگر نوک پرتابه مخروطی باشد نفوذ بیشتری در اهداف بتی سوراخ‌دار و بدون سوراخ نسبت به دماغه‌های کروی و اجایو ایجاد خواهد شد.

گومز و شاکلا [9] بر اساس تحقیقات تجربی، رابطه‌ای را برای توصیف آسیب دیدگی هدف در اثر برخوردهای پی‌درپی توسعه دادند که در آن با توجه به تعداد برخوردهای کاهش مقاومت مکانیکی اهداف محاسبه می‌گردد. از نتایج تحقیقات ایشان بعداً دیگران برای بیان اثرات آسیب بر روی اهداف متاثر از برخورد به اهداف بتی استفاده نموده‌اند.

وانگ و همکاران [10] نفوذ پرتابه اصلی در اهداف بتی که از قبل بر روی آنها سوراخ‌های کوچکی به قطر هشت میلی‌متر و عمق‌های مختلف ایجاد شده بود را با استفاده از شبیه‌سازی عددی و تست‌های محدود مورد بررسی قرار دادند. نتایج تحقیقات ایشان به روش عددی نشان می‌دهد که هرچه تعداد حفره‌ها و عمق آنها بر روی هدف بتی بیشتر باشد، عمق نفوذ پرتابه اصلی بیشتر خواهد شد، اما تست‌های تجربی ایشان نشان می‌دهد عمق حفره‌های از پیش ایجاد شده برخلاف تعداد حفره‌ها تاثیری بر روی عمق نفوذ پرتابه اصلی ندارد.

وانگ و همکاران [11] تحت عنوان اصلاح تئوری تلند برای نفوذ پرتابه در بتن سوراخ‌دار بر مبنای مطالعات عددی، به بررسی نفوذ پرتابه اجایو در بتن دارای سوراخ اولیه پرداختند. در مطالعه ایشان برخی از پارامترهای مورد نیاز برای تکمیل فرایند محاسبات بر مبنای نتایج تجربی تعیین شد. ایشان آزمون‌های عددی را برای قطرهای مختلف سوراخ و نیز ضرایب شکل مختلف دماغه پرتابه در هدف بتی انجام دادند و تلاش نمودند بر اساس نتایج بدست آمده میزان مقاومت هدف بتی در برابر نفوذ پرتابه صلب به درون آن را در تئوری تلند اصلاح نمایند.

لی [12] با استفاده از نرم‌افزار اوتودان به مطالعه نفوذ سرجنگی دو مرحله‌ای شامل بخش پیشرو از نوع شکل یافته انفجاری و بخش پیرو از نوع ارزی جنبشی پرداخت. نتایج تحقیقات ایشان نشان می‌دهد که در صورت استفاده از پرتابه پیشرو شکل یافته انفجاری و ایجاد آسیب بر روی هدف، پرتابه اصلی می‌تواند از هدف بتی عبور نمایند.

در این مقاله به منظور تحلیل عدی نفوذ پرتابه اصلی در هدف بتی

استحکامات<sup>۱</sup> معمولاً شامل یک خرج‌گود پیشرو<sup>۲</sup> و یک پرتابه ارزی جنبشی پیرو<sup>۳</sup> یا اصلی می‌باشدند. در این نوع سرجنگی‌ها در ابتدا خرج‌گود در هدف بتی ضخیم نفوذ نموده و ضمن ایجاد سوراخ، استحکام هدف را نیز کاهش می‌دهد، سپس پرتابه اصلی پس از عبور از حفره ایجاد شده به عمق هدف نفوذ نموده و باعث ایجاد خسارت و انهدام هدف می‌گردد. مزایای استفاده از پرتابه‌های دو مرحله‌ای نسبت به نمونه‌های تک مرحله‌ای از دو جنبه‌ی ایجاد نفوذ بیشتر و احتمال کاهش کمانه کردن مهم است. پرتابه‌های ضد استحکامات قادر هستند استحکامات استراتژیک از جمله پناهگاه‌ها، ساختمان‌های فرماندهی، آشیانه هواپیماها و انبارهای مهمات و سازه‌های مدفون را که با چندین لایه خاک و بتن پوشش داده شده‌اند را مورد اصابت و آسیب قرار دهند.

## 2-پیشنهاد تحقیق

تاکنون تحقیقات بسیار محدود و خاصی بر نفوذ پرتابه‌های دو مرحله‌ای ضد استحکامات در اهداف بتی صورت پذیرفته است. مسأله داشتن یک هدف بتی با حفره پیش ساخته ابتدا توسط مورفی [1] بررسی شد. روش او بر پایه معادله تجربی برنارد برای نفوذ در سنگ بنا نهاده شده بود. مورفی با استفاده از چند مدل نیمه تحلیلی ساده حداکثر عمق نفوذ یک پرتابه دو مرحله‌ای را بر حسب پارامترهای استحکام فشاری هدف، قطر سوراخ داخل هدف، قطر و جرم پرتابه و نیز سرعت بر خورد برآورد نمود. نتایج مدل تحلیلی مورفی در مقایسه با نتایج تست‌های تجربی دارای انطباق خوبی را نشان نمی‌دهد. فولسام [2] با گسترش و بسط کار مورفی همین مسأله را در پایان نامه فوق لیسانس خود بررسی کرد. او کارش را با نسخه ساده شده معادلات تجربی مهندسان نیروی زمینی ارتش امریکا<sup>۴</sup> آغاز کرد. روابط حاوی دو ثابت مجھول بود که به صورت تجربی و بر اساس آزمایش تعیین شدند. فولسام [3,2] همچنین دو سری آزمایش برای تحلیل نفوذ پرتابه‌های ارزی جنبشی در اهداف بتی سوراخ‌دار انجام داد، یک سری از این آزمایش‌ها با پرتابه‌های 88.7 گرمی به قطر 22 میلی‌متر و یکسری از این آزمایش‌ها هم با پرتابه‌های 5.93 کیلوگرمی به قطر 88.6 میلی‌متر بودند، که هر دو سری پرتابه دارای انحنای دماغه 1.25 بودند. همچنین سرعت تقریبی برخورد در آزمون‌ها 206 m/s بوده است. مدل تحلیلی فولسام با توجه به اینکه با استفاده از برآش منحنی بر روی نتایج تجربی حاصل گردید از دقت بسیار خوبی در مقایسه با نتایج تجربی برخورد می‌باشد. همین مسأله بعدها توسط ماسترت [4] نیز بررسی شد که از ترکیب مشاهدات تجربی و عددی برای بدست آوردن مجدد معادلات فولسام استفاده نمود. ماسترت چندین آزمایش نفوذ در اهداف بتی سوراخ‌های اولیه با قطرهای مختلف انجام داد. پرتابه‌های مورد استفاده در آزمون‌های ماسترت دارای جرم 141.6 گرم، قطر 20 میلی‌متر و انحنای دماغه 2.11 بوده است. بتن مورد استفاده نیز دارای مقاومت فشاری 20 MPa و چگالی 2000 kg/m<sup>3</sup> بوده است.

تلند [3]، با استفاده از تئوری گسترش حفره فورستال [5] تئوری گسترش حفره اصلاح شده‌ای را برای اهداف بتی سوراخ‌دار مطرح نمود. بر اساس این تئوری موقعی که حفره اولیه در یک هدف بتی ایجاد شود، نیروی وارد بر پرتابه کاهش می‌یابد. لذا به جای انتگرال گیری روی کل سطح پرتابه برای یافتن نیروی مؤثر تنها باید روی بخشی از سطح که در تماس با هدف

<sup>1</sup> Anti Structure Tandem Warhead

<sup>2</sup> FSC- Forward Shaped Charge

<sup>3</sup> Follow Through Warhead

<sup>4</sup> Army Corps of Engineers



Fig. 2a Forward projectile (Unassembled)

شکل 2-الف پرتابه پیشرو (دمونتاز شده)



Fig. 2b Forward projectile (assembled)

شکل 2-ب پرتابه پیشرو (مونتاژ شده)

مشخصات کلی اهداف بتنی عبارتند از:  
 طول: 1250 میلی‌متر (17 برابر قطر پرتابه)  
 عرض: 1250 میلی‌متر (17 برابر قطر پرتابه)  
 ضخامت: 200 میلی‌متر  
 دانسیته:  $2440 \text{ kg/m}^3$   
 استحکام فشاری: 48 مگاپاسکال  
 در شکل 3 اهداف بتنی قبل از اجرای تست نشان داده شده‌اند.

### 3-چیدمان میدان

برای اجرای تست‌های نفوذ پرتابه پیشرو بر روی اهداف بتنی، سه هدف بتنی به صورت عمودی و به فاصله دو متر از یکدیگر و در یک راستا قرار می‌گیرند. جهت ثبت فرایند نفوذ از دوربین‌های سرعت بالا استفاده شده است، این دوربین‌ها به گونه‌ای قرار می‌گیرند که جلو و پشت هدف قابل پوشش باشد. در شکل 4 چیدمان اهداف بتنی نشان داده شده است.

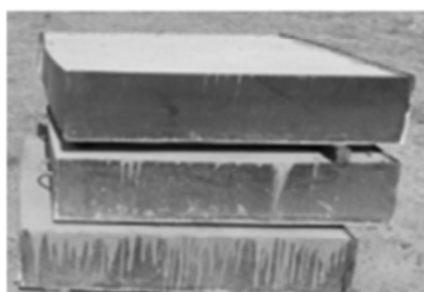


Fig. 3 Concrete targets

شکل 3 اهداف بتنی



Fig. 4 Concrete target setup

شکل 4 چیدمان اهداف بتنی

سوراخ دار و آسیب‌دیده، در ابتدا با استفاده از نتایج تست‌های تجربی نفوذ پرتابه پیشرو خروج‌گود بر روی اهداف بتنی، هندسه توغل و حفره برآورد شده و سپس با استفاده از روش‌های عددی نفوذ پرتابه پیشرو در هدف بتنی مورد شیبیه‌سازی و اعتبار سنجی قرار می‌گیرد. با اطمینان از صحت شبیه‌سازی، در ادامه نفوذ پرتابه اصلی در اهداف بدون سوراخ، سوراخ دار آسیب‌دیده و سوراخ دار بدون آسیب مورد تحلیل و بررسی قرار می‌گیرد. مهمترین خروجی‌های این تحقیق تخمین عمق نفوذ و سرعت باقی‌مانده پرتابه اصلی در اهداف بتنی مختلف می‌باشد.

### 3-تست‌های تجربی

تست‌های تجربی جهت تعیین پارامترهای عملکردی نفوذ انجام گرفته است. پرتابه‌های پیشرو مورد آزمون دارای لاینر مسی و هندسه مخروطی و اهداف مورد برخورد نیز بتنی ساده و بدون تقویت کننده می‌باشند.

#### 3-1-مشخصات لاینر

لاینر مهمترین بخش یک پرتابه پیشرو خروج‌گود می‌باشد. مشخصات هندسی و مادی لاینر مورد استفاده عبارتست از:  
 نوع و جنس لاینر: مخروطی و مس ETP11000  
 طول: 35 میلی‌متر  
 ضخامت: 2.5 میلی‌متر (به صورت یکنواخت)  
 زاویه مخروط: 90 درجه  
 قطر داخلی: 71 میلی‌متر  
 روش ساخت لاینر: ماشین‌کاری  
 لاینر مسی در شکل 1 نشان داده شده است.

#### 3-2-مشخصات پرتابه پیشرو

مشخصات کلی پرتابه پیشرو عبارتست از:  
 نوع پرتابه: خروج‌گود  
 جنس بدنه: آلومینیوم  
 جنس و وزن خرج: C4 و 260 گرم  
 نوع چاشنی: نمره 8  
 وزن پرتابه پیشرو: 530 گرم  
 در شکل 2 نمایی از حالت دمونتاز و مونتاژ شده پرتابه پیشرو نشان داده شده است.

#### 3-3-اهداف بتنی

اهداف بتنی مورد استفاده در این تحقیق بدون تقویت کننده بوده و ابعاد کلی آنها به گونه‌ای انتخاب شده است که اثرات مزدی بر روی نتایج تأثیری نداشته باشد.

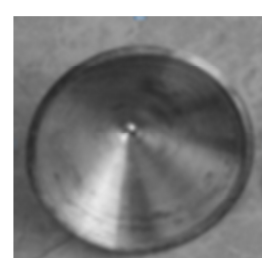
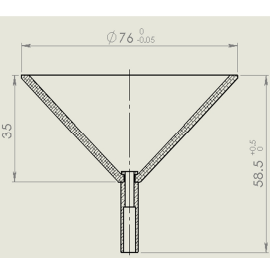


Fig. 1 Copper liner



شکل 1 لاینر مسی

که  $\Delta\epsilon_p$  نمو کرنش پلاستیک معادل،  $\Delta\mu$  نمو کرنش حجمی پلاستیک،  $D_1$  و  $D_2$  ثابت‌های آسیب و  $T^*$  استحکام کششی نرماله بتن می‌باشد. رفتار فشار بر حسب حجم در مدل مادی جانسون-همکوئیست می‌تواند در سه مرحله بیان شود. قسمت الاستیک خطی که توسط محدوده فشار و کرنش حجمی محدود شده است، در منطقه گذار بین ناحیه الاستیک و بتن آسیب دیده، ماده تحت کرنش پلاستیک حجمی قرار می‌گیرد. فرض می‌شود که در انتهای این منطقه ماده به طور کامل تخریب شده است. ناحیه سوم ماده کاملاً چگال است که هیچ گونه هوایی در آن نیست و رابطه فشار و حجم به صورت رابطه (3) بیان می‌شود:

$$p = K_1\bar{\mu} + K_2\bar{\mu}^2 + K_3\bar{\mu}^3 \quad (3)$$

که همان معادله حالت می‌باشد.  $K_1$  و  $K_3$  ثابت‌های مادی،  $-\bar{\mu} = \mu_0$  کرنش حجمی اصلاح شده،  $-1 - \mu_0/\rho_0$   $\mu_{lock}/(1 + \mu_{lock})$  حجمی استاندارد،  $\rho$  دانستیه جاری و  $\rho_0$  چگالی اولیه می‌باشد. در شبیه‌سازی‌های انجام گرفته خواص بتن مطابق جدول 1 در نظر گرفته شده است.

#### 4-1-2-مدل مادی جانسون-کوک [16]

معادله مشخصه جانسون-کوک، رفتار مواد را تحت تغییرات بالای دمایی، نرخ کرنش و کار پلاستیک بیان می‌کند و اثرات این عوامل را بر روی تنش تسلیم و کرنش شکست لحظه می‌نماید. لاینر مسی استفاده شده در پرتاپهای موردنظر در این مدل مادی شبیه‌سازی شده است. این مدل مادی به صورت رابطه (4) بیان می‌شود:

$$\bar{\sigma}_y = [A + B(\bar{\varepsilon}^p)^N][1 - (T^*)^M] \quad (4)$$

که در آن  $A, B, C, N, M$  ثابت‌های مادی هستند و  $\bar{\varepsilon}^p$  کرنش پلاستیک مؤثر،  $\bar{\varepsilon}^e$  نرخ کرنش بدون بعد  $T^*$  و دمای بدون بعد نظیر می‌باشد.  $T^*$  به صورت رابطه (5) بیان می‌گردد:

$$T^* = \frac{(T - T_{ref})}{(T_{melt} - T_{ref})} \quad (5)$$

که در آن  $T_{ref}$  دمای محیط و  $T_{melt}$  ذوب ماده موردنظر است. کرنش پلاستیک مؤثر به صورت رابطه (6) می‌باشد:

$$\bar{\varepsilon}_p = \int_0^t d\bar{\varepsilon}^p \quad (6)$$

در آن نمو  $d\bar{\varepsilon}^p$  کرنش پلاستیک مؤثر است که می‌توان آن را از تانسور کرنش پلاستیک  $\bar{\varepsilon}_p$  محاسبه نمود.

هنگامی که یک پرتاپه پیشرو تحت بار انفجاری قرار می‌گیرد، فشار انفجار نیروهایی ایجاد می‌کند که در محلهای زیادی بر روی بدن و لاینر متتمرکز می‌شوند. در نتیجه کرنش‌های محلی با تغییر شکل‌های بزرگ اتفاق می‌افتد. این شرایط باعث می‌شوند کرنش شکست که منجر به آسیب می‌شود اتفاق

**جدول 1** خواص مادی بتن در مدل مادی جانسون-همکوئیست [15,14]  
**Table 1** Material properties of concrete in JHC Material model [14,15]

کمیت	مقدار	کمیت	مقدار
$G$ (GPa)	14.86	$\rho$ (kg/m <sup>3</sup> )	2440
$T$ (MPa)	4	$C_h$	0.007
$U_{lock}$	0.1	$A_h$	0.79
$U_{crush}$	0.001	$EPSO$	1.0
$P_{lock}$ (GPa)	0.8	$\varepsilon_{min}^f$	0.01
$P_{crush}$ (GPa)	16	$S_{max}$	7
$K_1$ (GPa)	85	$D_1$	0.04
$K_2$ (GPa)	-171	$D_2$	1
$K_3$ (GPa)	208	$B_h$	1.6
$f_c$ (MPa)	48	N	0.61



Fig. 5 Location of forward projectile

شکل 5 محل قرارگیری پرتاپه پیشرو در مقابل هدف بتن

فاصله توقف پرتاپه پیشرو 10 سانتی‌متر می‌باشد، محل برخورد نیز در مرکز هدف بتن تعیین شده است. در شکل 5 محل قرارگیری پرتاپه پیشرو در مقابل هدف نشان داده شده است.

#### 4-شبیه‌سازی عددی

شبیه‌سازی عددی انجام شده در این مقاله با استفاده از نرم‌افزار اوتوداین انجام گرفته است. در ادامه به تشریح مراحل مختلف شبیه‌سازی شامل انتخاب مدل‌های مادی، معادلات حالت، ترسیم هندسه، شبکه بندی و روش حل پرداخته شده است.

#### 4-1-مدل‌های مادی

مدل‌های مادی یا معادلات مشخصه در تحلیل‌های عددی روابطی هستند که رفتار مواد را تحت تأثیر تغییرات محیط بیان می‌نمایند، در شبیه‌سازی‌های عددی صورت پذیرفته در این مقاله از معادلات مشخصه‌ای که در ادامه می‌آید، استفاده شده است.

#### 4-1-1-مدل مادی جانسون-همکوئیست [13]

هنگامی که بتن تحت برخورد پرتاپه‌های با سرعت بالا قرار می‌گیرد، در آن فشارهای بالا، کرنش‌های زیاد، نرخ کرنش‌های بالا و آسیب ایجاد می‌شود. بنابراین لزوم استفاده از مدل مادی که این موارد را در بر گیرد لازم می‌باشد. در مدل مادی جانسون-همکوئیست که یک مدل آسیب‌الاستیک-پلاستیک است اثرات ذکر شده در نظر گرفته شده است. در این مدل استحکام معادل نرماله به صورت رابطه (1) تعریف می‌شود:

$$\sigma^* = \frac{\sigma}{f_c} = [A_h(1 - D) + B_h P^{*N}] \cdot [1 + C_h \ln \dot{\varepsilon}^*] \quad (1)$$

که  $\sigma$  تنش واقعی معادل،  $f_c$  مقاومت فشاری بتن،  $A_h$  مقاومت چسبندگی نرماله،  $B_h$  ضریب سخت شوندگی فشار نرماله،  $C_h$  ضریب نرخ کرنش،  $N$  نمای سخت شوندگی فشار،  $S_{max}$  حداکثر استحکام نرماله،  $P^*$  فشار نرماله و  $\dot{\varepsilon}^* = \dot{\varepsilon}/\dot{\varepsilon}_0$  که  $1s^{-1}$  نرخ کرنش مرجع می‌باشد. مقدار آسیب ماده توسط متغیر آسیب  $D$  مشخص می‌شود. پارامتر آسیب در این مدل به صورت رابطه (2) بیان می‌شود:

$$D = \sum \left( \frac{\Delta\epsilon_p + \Delta\mu_p}{D_1(P^* + T^*)^{D_2}} \right) \quad (2)$$

#### 4-1-4- مدل مادی نول نول<sup>3</sup> [16]

مدل مادی نول برای بیان رفتار موادی با تغییر فرم‌های شبه سیال (هواء، آب و غیره) مورد استفاده قرار می‌گیرد. این مدل مادی تنش ویسکوز در ماده را می‌دهد. (تنش ویسکوز دارای همان مشخصات تنش‌های انحرافی<sup>4</sup> می‌باشد).

$$\sigma_{ij}^v = \sigma_{ij} = \mu \epsilon'_{ij} \quad (12)$$

که در آن  $\sigma_{ij}$  تنش‌های انحرافی،  $\mu$  ضربت ویسکوزیته سیال و  $\epsilon'_{ij}$  نیز نرخ کرنش انحرافی می‌باشد. با استفاده از رابطه فوق می‌توان تنش‌های انحرافی را محاسبه نمود. این مدل مادی نیازمند معادله حالتی برای تعیین فشار می‌باشد که از ترکیب معادله مشخصه و معادله حالت تنش‌های کلی برآورده شود.

$$\sigma_{ij} = \sigma'_{ij} + \frac{\sigma_{kk}\delta_{ij}}{3} = \mu \epsilon'_{ij} + P\delta_{ij} \quad (13)$$

#### 4-2- معادلات حالت<sup>5</sup>

در برخی از تحلیل‌های عددی علاوه بر معادلات اساسی بقاء که شامل معادلات بقای جرم، بقای اندازه حرکت خطی و زاویه‌ای و بقای انرژی است، به معادله‌ای که رابطه بین خصوصیات ترمودینامیکی ماده (مثل فشار، جرم حجمی و دما) را بدھتا سیستم معادلات بسته<sup>6</sup> شوند، نیاز می‌باشد. انتخاب معادله حالت مناسب به مدل کردن مسئله، شبیه سازی عددی و مقایسه با نتایج تجربی بر می‌گردد. در این شبیه سازی از معادله حالت مای-گروناپین<sup>7</sup> استفاده می‌شود.

#### 4-1-4- معادله حالت مای-گروناپین [16]

معادله حالت مای-گروناپین یکی از مهمترین معادلات حالتی است که برای مواد مایع و جامد بسیار مناسب است. این معادله حالت همانند سایر معادلات حالت ارتباط بین فشار، چگالی و انرژی را بیان می‌نماید.

معادله حالت فشار برای  $\bar{\mu} > \bar{\mu}_0$  یعنی ماده در حال فشرده‌گی به صورت رابطه (14) می‌باشد:

$$P = \frac{\rho_0 C^2 \mu_0 \left\{ 1 + \left[ 1 - \left( \frac{\gamma_0}{2} \right) \right] \mu_0 - \left( \frac{a}{2} \right) \mu_0^2 \right\}}{[1 - (S_1 - 1)]\mu_0 - S_2 \frac{\mu_0^2}{\mu_0 + 1} - S_3 \frac{\mu_0^3}{(\mu_0 + 1)^2} + (\gamma_0 + a\mu_0)E} \quad (14)$$

اگر ماده منبسط شده باشد، آنگاه  $0 < \mu_0 < \bar{\mu}$  و معادله حالت به صورت رابطه (15) بیان می‌شود:

$$P = \rho C^2 \bar{\mu} + (\gamma_0 + a\bar{\mu})E \quad (15)$$

که در معادلات فوق  $S_1, S_2, S_3$  اولین، دومین و سومین ضرایب شبیه منحنی  $U_S - U_P$  سرعت موج شوک و  $U_S$  سرعت ذره می‌باشند).  $E$  انرژی داخلی اولیه،  $V$  حجم وابسته،  $a$  ضربت تصحیح حجمی،  $\gamma_0$  ضربت گروناپین و  $C$  سرعت صوت حجمی یا مقدار عرض از مبدأ منحنی  $U_P - U_S$  می‌باشد و مقدار  $\mu_0$  به صورت رابطه (16) بیان می‌شود:

$$\mu_0 = \left( \frac{\rho}{\rho_0} \right) - 1 \quad (16)$$

که در آن  $\rho$  چگالی جاری و  $\rho_0$  چگالی اولیه است.

برای لاینر مسی و هوای معادله حالت گروناپین استفاده شده است.

افتد. در اینجا پارامتر آسیب  $D$  از صفر تا یک تغییر می‌کند، صفر مربوط به موقعی است که هیچ آسیبی وجود ندارد و یک آسیب کامل را بیان می‌کند.

قبل از آسیب کرنش شکست،  $\epsilon_f$ ، به صورت معادله (7) بیان می‌شود:

$$\epsilon_f = [d_1 + d_2 \exp(d_3 \sigma^*)][1 + d_4 \ln(\dot{\epsilon}^*)][1 + d_5 T^*] \quad (7)$$

که در آن  $d_1, d_2, d_3, d_4$  و  $d_5$  ثابت‌های مادی و  $\sigma^*$  فشار اعمالی است که بر

تنش مؤثر تقسیم می‌شود:

$$\sigma^* = \frac{P}{\bar{\sigma}} \quad (8)$$

تنش مؤثر  $\bar{\sigma}$  از معادله (9) بدست می‌آید:

$$\bar{\sigma} = (1.5 \sigma_{ij} \sigma_{ij})^{1/2} \quad (9)$$

که در آن  $\sigma_{ij}$  مؤلفه‌های تانسور تنش می‌باشد.

همان‌طور که بیان شد آسیب در سرتاسر گام‌های زمانی با یکدیگر جمع می‌شود و شکست زمانی در لاینر و بدنه پرتابه پیش رو اتفاق می‌افتد که مقدار  $D$  برابر یک شود. پارامتر آسیب عموماً برای مواد نرم مورد استفاده قرار می‌گیرد و به صورت رابطه (10) تعریف می‌شود:

$$D = \sum \left( \frac{\Delta \dot{\epsilon}^p}{\dot{\epsilon}_f} \right) \quad (10)$$

در جدول 2 خواص لاینر مسی و در جدول 3 خواص لاینر آلومینیومی در مدل مادی جانسون-کوک ارائه شده است.

#### 3-1-4- مدل مادی شدیدالانفجار<sup>1</sup>

این مدل مادی برای بیان رفتار مواد شدیدالانفجار (سرعت بالا) به کار می‌رود. با استفاده از این مدل مادی می‌توان رفتار بسیاری از مواد منفجره سرعت بالا نظیر PETN، RDX، TNT، C4 و غیره را تحلیل و مدل‌سازی نمود. در هر زمان، فشار در هر المان ماده منفجره سرعت بالا بصورت رابطه (11) بیان می‌شود:

$$P = F P_{eos}(V, E) \quad (11)$$

که  $P_{eos}$  فشار معادله حالت،  $V$  حجم وابسته و  $E$  چگالی انرژی داخلی در واحد حجم اولیه است.  $F$  پارامتر سوزش<sup>2</sup> است که در معادله حالت مواد منفجره ضرب می‌شود و آزاد سازی انرژی شیمیایی را برای شبیه سازی انفجار کنترل می‌نماید. در جدول 3 پارامترها و خواص مدل مادی مربوط به ماده منفجره C4 ارائه شده است.

جدول 2 خواص مادی لاینر مسی در مدل مادی جانسون-کوک [16]

Table 2 Material properties of copper liner in Johnson-cook Material model [16]

کمیت	مقادیر	کمیت	مقادیر
$\rho$ (kg/m <sup>3</sup> )	8960	$N$	0.31
$C$	0.025	$M$	1.09
$A$ (MPa)	90	MELT(K)	1360
$B$ (MPa)	292	$T$ (K)	293

جدول 3 خواص مادی ماده منفجره C4 در مدل مادی سوزش شدیدالانفجار [16]

Table 3 Material Properties of C4 in High Explosive Burn Mode 1 [16]

کمیت	مقادیر	کمیت	مقادیر
$\rho$ (kg/m <sup>3</sup> )	1601	$PCJ$ (GPa)	0.28
$D$ (m/s)	8190	$R2$	1.4
$A$ (GPa)	609.77	$OMEGA$	775
$B$ (MPa)	12.950	$E_0$ (GPa)	9.0
$R1$	4.5		

<sup>1</sup> High Explosive Burn Model

<sup>2</sup> Fraction Burn

<sup>3</sup> Null Material Model

<sup>4</sup> Deviatoric

<sup>5</sup> Equation of State

<sup>6</sup> Closure

<sup>7</sup> Mie-Gruneisen

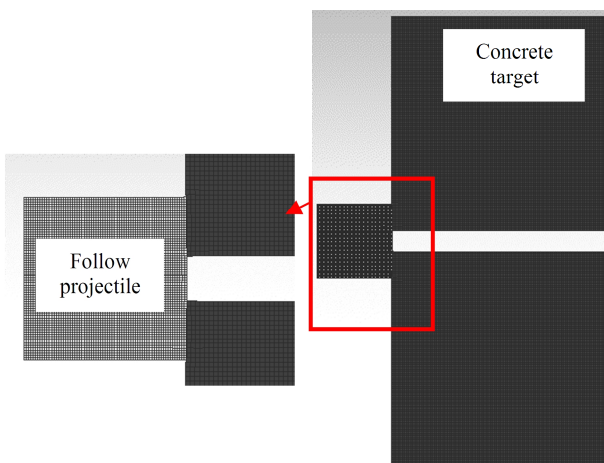


Fig. 6b Numerical model of follow projectile

شکل 6- ب مدل عددی پرتابه اصلی

#### 5-4- روش حل عددی

در آنالیزهای عددی این تحقیق خروج شدیدالانفجار، لاینر مسی، هوای پیرامونی و نیز بدنه پرتابه به صورت اویلری، هدف بتنی و پرتابه اصلی به صورت لاگرانژی مدل سازی شده است.

#### 5-5- نتایج و بحث

##### 5-1- نتایج تست‌های تجربی

با توجه به سرعت بسیار بالای پرتابه‌های پیشرو و نیز حجم بالایی از آتش و دود، امکان اندازه‌گیری سرعت برخورد و سرعت باقیمانده در تست‌های مختلف با تجهیزات در دسترس میسر نبوده است. اما مهمترین پارامترهای مورد نظر شامل: قطر و عمق حفره جلویی، قطر و عمق حفره پشتی و نیز قطر تونل ایجاد شده در هدف بتنی و نیز ارزیابی کیفی تخریب ایجاد شده بر روی هدف از دیگر خروجی‌های تست‌های تجربی است. در شکل 7 فرایند نفوذ پرتابه پیشرو در چهار گام زمانی نشان داده شده است.

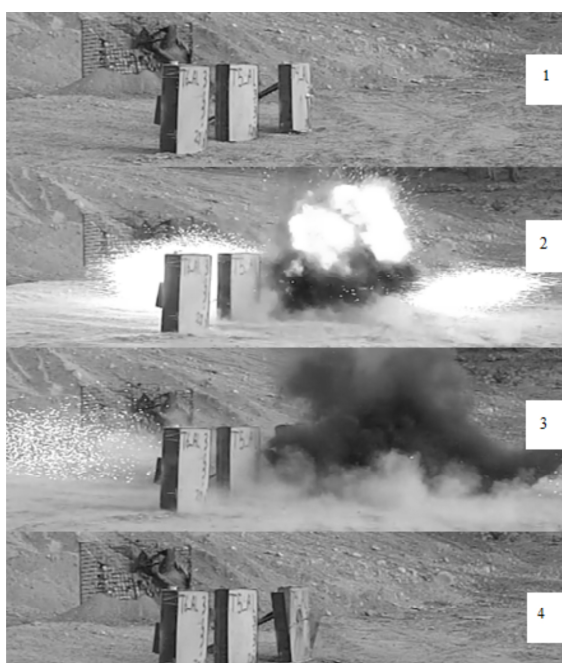


Fig. 7 Forward projectile penetration in concrete targets

شکل 7 نفوذ پرتابه پیشرو در هدف بتنی

#### 4-2-2- معادله حالت JWL<sup>1</sup>

معادله حالتی که غالبا برای توصیف رفتار محصولات انفجاری به کار می‌رود، معادله حالت جونز- ویلکنز- لی (JWL) است و بصورت رابطه (17) بیان می‌شود:

$$P = A \left( 1 - \frac{\omega}{R_1 \tilde{V}} \right) e^{-R_1 \tilde{V}} + B \left( 1 - \frac{\omega}{R_2 \tilde{V}} \right) e^{-R_2 \tilde{V}} + \frac{\omega}{\tilde{V}} \quad (17)$$

در معادله  $A, B, R_1, R_2$  (17) ثابت‌های مواد انفجاری خاص هستند،  $\tilde{V}$  حجم وابسته و  $E$  انرژی داخلی وابسته است، یعنی:

$$V' = \frac{\rho}{\rho_0} \quad , \quad E = \rho_0 e \quad (18)$$

که در آن  $\rho_0$  چگالی ماده منفجره برای زمانی است که انفجاری در آن رخ نداده باشد. در تحلیل‌های عددی این بخش معادله حالت JWL به مدل مادی شدیدالانفجار نسبت داده شده است. معادله حالت JWL نیازمند ثابت‌های فراوانی است که برای مواد منفجره مختلف متفاوت می‌باشد، در جدول 3 ضرایب این معادله حالت برای ماده منفجره C4 ارائه شده است.

#### 4-3- توصیف مدل هندسی و عددی

رسم مدل هندسی در ابتدای کار شبیه‌سازی انجام می‌گردد. مدل کردن هندسی با تعریف دو بخش پرتابه و بتن شروع و در دو مرحله (پرتابه‌ی پیشرو-بتن و پرتابه‌ی اصلی-بتن) و با ایجاد خطوط و سطوح ادامه می‌یابد. در شکل 6 مدل عددی پرتابه پیشرو، پرتابه اصلی و بتن نشان داده شده است. مشخصات پرتابه اصلی عبارتند:

قطر پرتابه: 7 سانتی‌متر

طول پرتابه: 7 سانتی‌متر

وزن پرتابه: 1800 گرم

مدل مادی در تحلیل‌های عددی: مدل مادی صلب

سرعت برخورد: 150 متر بر ثانیه

با توجه به تقارن محوری پرتابه و هدف در المان بندی از مدل سازی متقارن محوری استفاده شده است. تعداد کل المان‌های بکار رفته در تحلیل عددی پرتابه پیشرو 96900 المان می‌باشد.

#### 4-4- پارامترهای کنترلی

زمان کل حل در تحلیل‌های عددی شکل گیری لاینر مسی 63 میکرو ثانیه و زمان کل حل نفوذ در هدف بتنی 1500 میکرو ثانیه می‌باشد. همچنین زمان کل حل نفوذ پرتابه اصلی در هدف بتنی آسیب‌دیده 5 میلی ثانیه است. پارامترهای کنترلی نیز شامل: ضریب مقایس گام زمانی برابر 0.66 و پارامتر آورگلاس برابر 0.1 در نظر گرفته شده است.

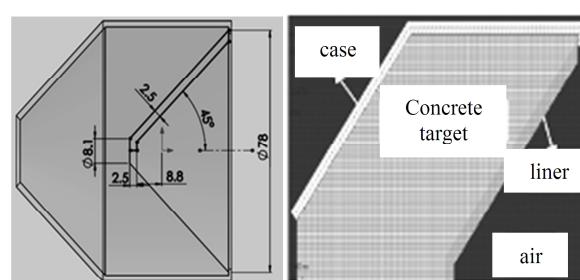


Fig. 6a Numerical and geometry of forward projectile

شکل 6- الف مدل هندسی و عددی پرتابه پیشرو

<sup>1</sup> Jones-Wilkins-Lee

### 5-2-نتایج شبیه‌سازی عددی

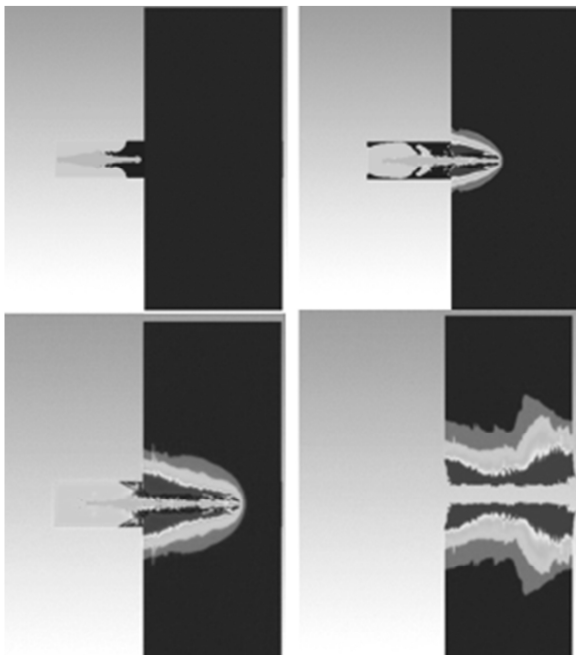
#### 5-2-1-نفوذ پرتابه پیشرو

در شکل 9 نفوذ پرتابه پیشرو در هدف بتنی در چهار گام زمانی با استفاده از کاتنور آسیب نشان داده شده است. در شکل 10 نیز ابعاد هندسی تونل بعد از نفوذ کامل پرتابه پیشرو و قبل از نفوذ پرتابه اصلی نشان داده شده است. همان‌طور که ملاحظه می‌شود سه فاز ایجاد حفره جلویی، فاز تونلینگ و فاز حفره پشتی در فرایند شبیه‌سازی به خوبی صورت پذیرفته است.

همان‌طور که در شکل 10 مشاهده می‌شود سه فاز ایجاد حفره جلویی، فاز تونلینگ و فاز عددی برابر 22 میلی‌متر می‌باشد.

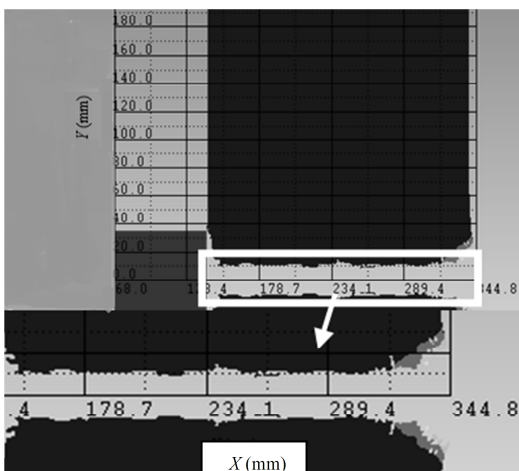
#### 5-2-2- مقایسه نتایج تجربی و عددی نفوذ پرتابه پیشرو

در شکل 11 نتایج شبیه‌سازی عددی و آزمون‌های تجربی برای قطر تونل، به عنوان مهمترین پارامتر نفوذ خروج‌گود در بتن، با یکدیگر مورد مقایسه قرار گرفته است.



شکل 9 نفوذ پرتابه پیشرو در چند گام زمانی

شکل 9 نفوذ پرتابه پیشرو در چند گام زمانی



شکل 10 ابعاد تونل در نفوذ پرتابه پیشرو

شکل 10 ابعاد تونل در نفوذ پرتابه پیشرو

در شکل 8 اهداف بتنی پس از برخورد پرتابه پیشرو نشان داده شده‌اند، مقایسه کیفی اهداف بتنی پس از برخورد نشان می‌دهد که نتایج تست‌ها از تکرار پذیری بسیار خوبی برخوردار می‌باشد.

در جدول 4 نتایج نفوذ پرتابه پیشرو بر روی اهداف بتنی ارائه شده است. همان‌طور که در شکل‌های 8 و جدول 4 مشاهده می‌شود در کلیه پارامترهای اندازه‌گیری شده اختلاف بین نتایج بسیار کم بوده و نتایج تجربی به لحاظ کمی و کیفی از تکرارپذیری بسیار مناسبی برخوردار می‌باشد. اختلاف محدود بین نتایج تست‌های مختلف ناشی از عدم یکنواختی و غیر همگن بودن بتن می‌باشد که اجتناب ناپذیر می‌باشد.



شکل 8-الف هدف بتنی اول پس از نفوذ پرتابه پیشرو (راست: پشت - چپ: جلو)



شکل 8-ب هدف بتنی دوم پس از نفوذ پرتابه پیشرو (راست: پشت - چپ: جلو)



شکل 8-ج هدف بتنی سوم پس از نفوذ پرتابه پیشرو (راست: پشت - چپ: جلو)

جدول 4 نتایج نفوذ پرتابه‌های پیشرو بر روی اهداف بتنی

Table 4 Result of forward projectile on target concrete

میانگین	3	2	1	شماره تست
قطر تونل (mm)	24	22	23	
قطر حفره جلویی (mm)	280	270	290	
قطر حفره پشتی (mm)	315	320	330	
عمق حفره جلویی (mm)	50	52	53	
عمق حفره پشتی (mm)	60	55	55	

نفوذ پرتابه اصلی در هدف بتنی سوراخ‌دار، بدون سوراخ و نیز بتن سوراخ‌دار آسیب دیده در راستای تعیین سرعت باقی‌مانده مهمترین بخش از شبیه‌سازی‌های عددی نفوذ پرتابه‌های دو مرحله‌ای در اهداف بتنی است. لازم به ذکر است که قطر تونل در شبیه‌سازی‌های عددی نفوذ در بتن سوراخ‌دار 22 میلی‌متر می‌باشد.

در شکل‌های 12 تا 14 نفوذ پرتابه اصلی در اهداف بتنی ذکر شده با استفاده از کانتورهای سرعت و آسیب نشان داده شده است. همان‌طور که در شکل‌های مختلف مشاهده می‌شود برای ساده‌سازی، پرتابه اصلی به شکل یک استوانه به طول و قطر 70 میلی‌متر و با دماغه تخت در نظر گرفته شده است.

سرعت برخورد نیز 150 متر بر ثانیه می‌باشد.

همان‌طور که در شکل 12 مشاهده می‌شود پرتابه اصلی قابلیت نفوذ کامل و عبور از هدف بتنی بدون سوراخ را ندارد.

اثرات ایجاد سوراخ در نفوذ کامل پرتابه در هدف بتنی و نیز دستیابی به سرعت باقی‌مانده 36 متر بر ثانیه در شکل 13 نشان داده شده است.

که البته این موضوع باید مورد توجه قرار گیرد که بتن سوراخ‌دار هیچ آسیبی ندیده و خواص مکانیکی آن نیز ضعیف نشده است.

همان‌طور که در شکل 14 مشاهده می‌شود در صورتی که هدف سوراخ‌دار و آسیب دیده نیز باشد ضمن عبور کامل پرتابه از داخل هدف، سرعت باقی‌مانده نیز نسبت به حالت هدف سوراخ‌دار بدون آسیب افزایش می‌باید.

علت این نتیجه علاوه بر وجود سوراخ در هدف بتنی، کاهش خواص مکانیکی بتن پس از برخورد پرتابه پیش رو می‌باشد.

در نمودار شکل 15 سرعت باقی‌مانده برای سه حالت نفوذ پرتابه اصلی در هدف بتنی بدون سوراخ، هدف بتنی سوراخ‌دار بدون آسیب و هدف بتنی سوراخ‌دار آسیب دیده به صورت مقایسه‌ای نشان داده شده است.

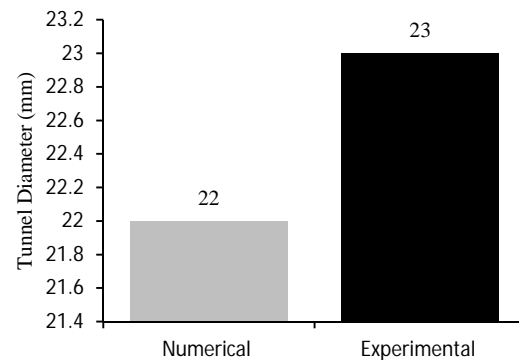


Fig. 11 The comparison of Experimental and numerical tunnel diameter for forward projectile penetration in concrete target

شکل 11 مقایسه قطر تونل در نتایج تجربی و عددی نفوذ پرتابه پیش رو در هدف بتن

مقایسه بین نتایج تجربی و عددی قطر تونل نشان می‌دهد که حداقل اختلاف بین دو روش کمتر از 4.5 درصد است. علاوه بر مقایسه کمی قطر تونل در دو روش عددی و تجربی، بررسی‌های کیفی نظیر ایجاد حفره جلویی، حفره پشتی و مکانیزم تخریب نیز بیانگر انتبهای بین تحلیل‌های عددی و تست‌های تجربی می‌باشد. با توجه به عدم یکنواختی مصالح مورد استفاده در بتن و عدم همگنی آن به عنوان یک خاصیت ذاتی، اختلاف نتایج بسیار مطلوب و مورد قبول می‌باشد. لذا با اطمینان از صحت نتایج شبیه‌سازی عددی و روش‌های حل عددی مورد استفاده، می‌توان به شبیه‌سازی نفوذ پرتابه اصلی در هدف بتنی پرداخت.

### 5-2-3-نفوذ پرتابه اصلی

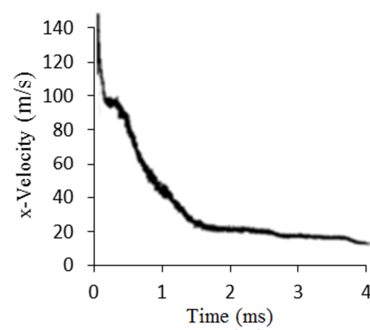
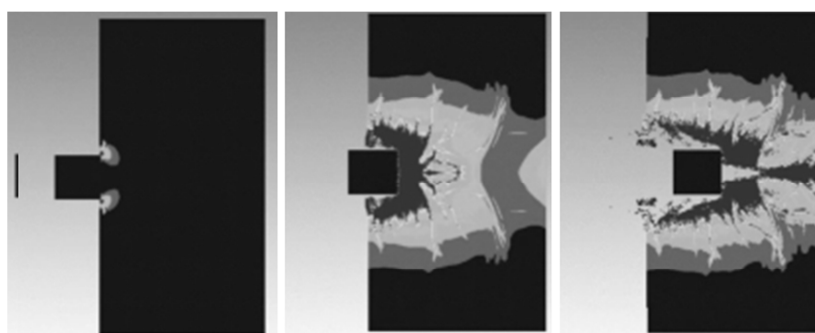


Fig. 12 Follow projectile penetration in several time steps (damage contour) and follow projectile velocity changes graph, during penetration in concrete target without hole

شکل 12 نفوذ پرتابه اصلی در چند گام زمانی (کانتور آسیب) و نمودار تغییرات سرعت پرتابه اصلی در حین نفوذ در هدف بتنی بدون سوراخ

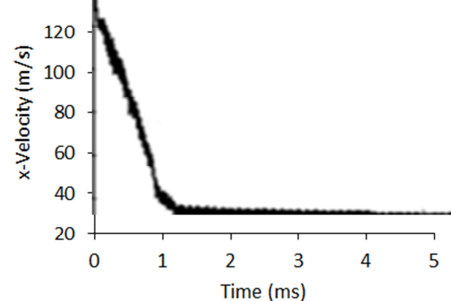
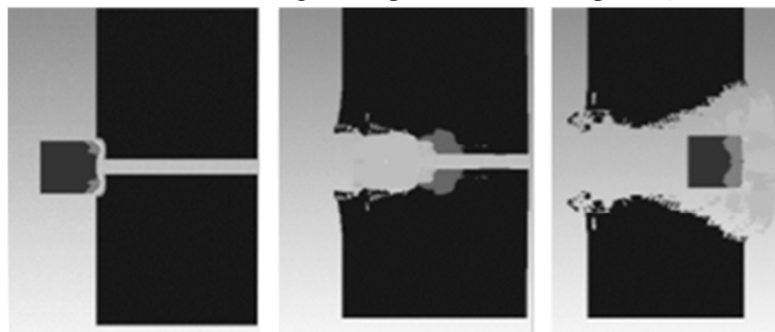
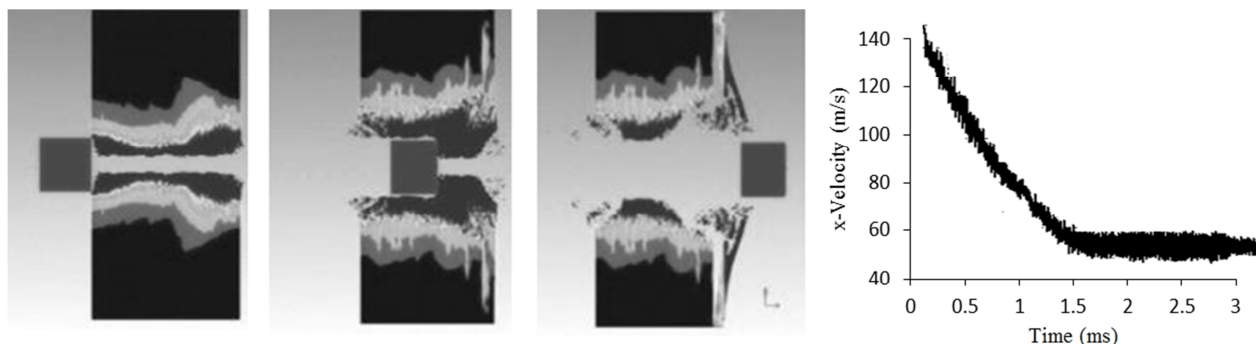


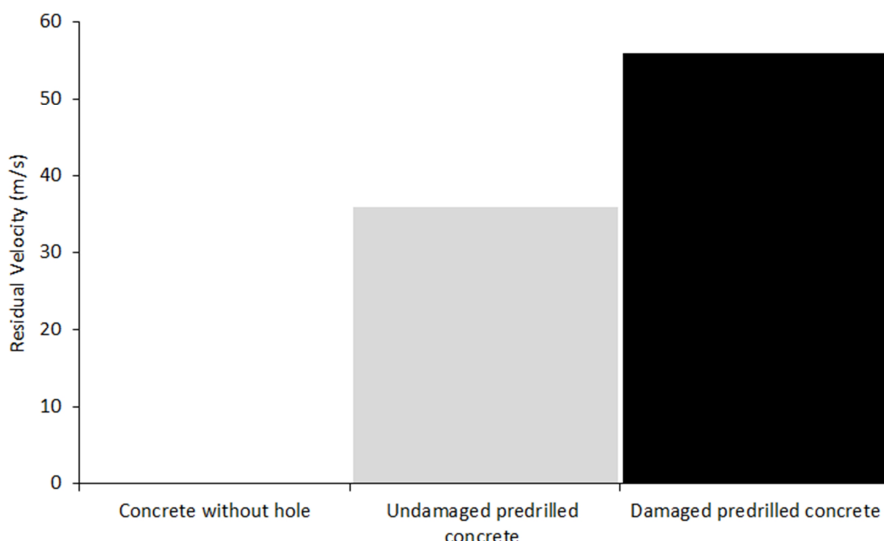
Fig. 13 Follow projectile penetration in several time steps and follow projectile velocity changes graph, during penetration in predrilled concrete target

شکل 13 نفوذ پرتابه اصلی در چند گام زمانی و نمودار تغییرات سرعت پرتابه اصلی در حین نفوذ در هدف بتنی سوراخ‌دار



**Fig. 14** Follow projectile penetration in several time steps (damage contour) and follow projectile velocity changes graph, during penetration in predrilled and damaged concrete target

شکل ۱۴ نفوذ پرتابه اصلی در چند گام زمانی(کانتور آسیب) و نمودار تغییرات سرعت پرتابه اصلی در هین نفوذ در هدف بتنی بدون سوراخدار آسیب دیده



**Fig. 15** Comparison of follow projectile residual velocity in damaged predrilled concrete, undamaged predrilled concrete and concrete without hole

شکل ۱۵ مقایسه سرعت باقیمانده پرتابه اصلی در بتن‌های سوراخدار آسیب دیده، سوراخدار بدون آسیب و بدون سوراخ

می‌دهد که اختلاف بین دو روش در ایجاد قطر تونل حداقل ۴.۵ درصد می‌باشد که با توجه به مشخصات ذاتی بتن که ماده‌ای غیر همگن است، انطباق بسیار خوبی را نشان می‌دهد. به لحاظ کیفی نیز فازهای ایجاد حفره جلویی، تونلینگ و ایجاد حفره پشتی دو روش مطابق شکل ۹ و شکل‌های ۸ در انطباق مناسبی با یکدیگر می‌باشند.

- نتایج شبیه‌سازی عددی نفوذ پرتابه اصلی بر روی هدف بتنی بدون سوراخ، هدف بتنی سوراخدار و هدف بتنی سوراخدار آسیب دیده نشان می‌دهد که پرتابه اصلی قابلیت نفوذ در هدف بتنی بدون سوراخ را مطابق شکل ۱۲ ندارد، اما با ایجاد سوراخ و آسیب بر روی هدف بتنی مطابق شکل‌های ۱۳ و ۱۴ پرتابه اصلی می‌تواند با سرعت‌های باقیمانده ۳۶ و ۵۷ متر بر ثانیه از هدف بتنی عبور نماید.

بنابراین در صورت استفاده از پرتابه پیشرو خرج‌گود و ایجاد آسیب در هدف بتنی، فرایند نفوذ پرتابه اصلی امکان‌پذیر شده و سرعت باقیمانده نیز نسبت به حالت بدون آسیب افزایش می‌یابد.

## ۷- مراجع

- [1] M. J. Murphy, Performance analysis of two-Stage munitions, *Proceedings of the 8th International Symposium on Ballistics*, Orlando, Florida, October 23-25, pp. 125-136, 1984.

## ۶- جمع‌بندی و نتیجه‌گیری

در این تحقیق در استای تحلیل عملکرد یک پرتابه دو مرحله‌ای ضد استحکامات که دارای پرتابه پیشرو خرج‌گود و پرتابه اصلی انرژی جنبشی است، به آنالیز عددی و تجربی این نوع پرتابه‌ها پرداخته شده است. از آنجا که مدل تحلیلی مناسبی که قادر به تخمین و لحاظ نمودن اثرات آسیب در نفوذ پرتابه اصلی در هدف بتنی آسیب دیده باشد وجود ندارد، لذا در این تحقیق در راستای تعیین آسیب بر روی اهداف بتنی در ابتدا با استفاده از روش‌های تجربی و عددی میزان آسیب بر روی هدف بتنی برآورد شده و سپس به بررسی و تحلیل نفوذ پرتابه اصلی بر روی اهداف بتنی مختلف پرداخته شده است. مهمترین نتایج این تحقیق به قرار ذیل است:

- نتایج تست‌های تجربی نشان می‌دهد که پرتابه خرج‌گود مخروطی با لاینر مسی و ضخامت ۲.۵ میلی‌متر قادر به نفوذ کامل در هدف بتنی بدون تقویت بوده و باعث ایجاد آسیب در اطراف ناحیه تولل مطابق شکل‌های ۸ می‌شود.

- نتایج شبیه‌سازی عددی نفوذ پرتابه پیشرو خرج‌گود بر روی هدف بتنی با استفاده از مدل‌های مادی جانسون-همکوئیست برای بتن و جانسون-کوک برای لاینر فلزی نشان می‌دهد که با این روش می‌توان با دقت خوبی به لحاظ کمی و کیفی عملکرد پرتابه پیشرو بر روی هدف بتنی را مدل سازی نمود.

- مقایسه نتایج شبیه‌سازی عددی و تست‌های تجربی نفوذ پرتابه پیشرو نشان

- Lu, Influence of concrete target with pre-drilled cavities on the penetration performance of a projectile, *Chinese Journal of High Pressure Physics*, Vol. 29, No. 1, pp. 69-74, 2015.
- [11] J. WANG, C. WANG, A modified theoretical model of the concrete target with pre-drilled cavities penetrated by the ogive-nose projectile and numerical simulation, *Chinese Journal of Computational Mechanics*, Vol. 26, No.4, pp. 558-561, 2009. (in Chinese)
- [12] N. LI, Numerical simulation for the process of tandem warhead against masonry structure, *7th International Conference on Shock & Impact Loads on Structures*, Beijing, China, October 17-19 ,pp. 349-354, 2007. (in Chinese)
- [13] T. J. Holmquist, G. R. Johnson, W. H. Cook, A computational constitutive model for concrete subjected to large strains, high strain rates and high pressure, *14th International Symposium on Ballistics*, Quebec, September 26-29, pp. 591-600, 1993.
- [14] N. Khazraiyan, GH. Liaghat, H. Khodarahmi, N. Dashtian Gerami, Analysis of perforation process into concrete/metal target by rigid projectile, *Proceedings of the Institution of Mechanical Engineers Part C Journal of Mechanical Engineering Science*, Vol. 227, No. 7, pp. 1454-1468, 2013.
- [15] N. Khazraiyan, GH. Liaghat, H. Khodarahmi, Normal impact of hard projectile on concrete targets, *Structural Concrete*, Vol. 14, No. 2, pp. 176-183, 2013.
- [16] J. Carleone, *Tactical Missile Warhead Progress in Astronautics and Aeronautics*, second edition, pp. 165-185, Washington DC: AIAA, 1993.
- [2] E. N. Folsom, *Projectile penetration into concrete with an inline hole*, Master's Thesis, Lawrence Livermore National Laboratory, UCRL-53786, June, 1987.
- [3] J. A. Teland, Cavity expansion theory applied to penetration of targets with pre-Drilled cavities, *19th International Symposium on Ballistics*, Interlaken, Switzerland, May 7-11, pp. 1329-1335, 2001.
- [4] F. J. Mostert, Penetration of steel penetrators into concrete targets with pre-drilled cavities of different diameters, *18th International Symposium on Ballistics*, San Antonio, Texas, November 15-19, pp.1042-1048, 1999.
- [5] M. J. Forrestal, D. Y. Tzou, A Spherical cavity-expansion penetration model for concrete targets, *International Journal of Solid Structures*, Vol. 34, No. 31-32, pp. 4127-4146, 1997.
- [6] X. J. Guo, H. M. Wen, Performance analysis and optimization of adual warhead system, *International Journal Nonlinear Science and Numerical Simulation*, Vol. 13, No. 1, pp. 49-54, 2012.
- [7] H. M. Wen, Predicting the penetration and perforation of targets struck by projectiles at normal incidence, *Mechanics of Structures and Machines*, Vol. 30, No.4, pp. 543-577, 2002.
- [8] S. Y. WANG, Penetration of kinetic energetic projectile against predamaged concrete targets, *7th International Conference on Shock & Impact Loads on Structures*, Beijing, China, November 17-19, pp. 607-612, 2007. (in Chinese)
- [9] J. T. Gomez, A. Shukla, Multiple Impact penetration of semi-infinite concrete, *International Journal of Impact Engineering*, Vol. 25, No. 10, pp. 965–979, 2001.
- [10] H. B. WANG, SH. Q. Yang, R. Z. Xie, L. X. Qian, Y. G.